

REVISTA DE DIVULGACIÓN DE FOTOGRAFÍAS CIENTÍFICAS DE LA MEDICINA VETERINARIA

FOTOvet

Contenido/

1. Evidencia microscópica de *Hepatozoon spp.* en un aguará guazú.
2. Micosis de bolsa gútural en equinos, diagnóstico endoscópico.
3. Lesiones macroscópicas y microscópicas de un caso de paratuberculosis bovina.
4. Huevos de parásitos gastrointestinales en heces de puma (*puma concolor*).
5. Empiema de bolsa gútural en un equino: diagnóstico endoscópico.
6. *Leishmania spp.* en sangre capilar.
7. Huevos de *Pearsonema plica* en sedimento urinario de un Aguará Guazú.
8. Correspondencia de lesiones macro y microscópicas en un quiste paraprostático.
9. Rinosporidiosis en laringe en un equino.
10. Criptococosis mesentérica en un canino.
11. *Hepatozoon canis*, peculiar hallazgo en un frotis sanguíneo.
12. Cristales de cistina en sedimento urinario de un canino.
13. Rinosporidiosis en cavidad nasal en un equino, su diagnóstico citológico.
14. Observación de excentrocitos en un extendido sanguíneo de un canino.
15. Diferentes formas de la reproducción asexual de *Hepatozoon canis* en medula ósea de un canino.
16. *Gurtlia paralysans*: morfología de la hembra adulta.
17. Equinococosis quística en un bovino de producción lechera.
18. Frenillo peneano persistente en toro Jersey de 15 meses de edad.
19. Registro de *Polygenis platensis* (Siphonaptera: Rhopalopsyllidae: Rhopalopsyllinae) sobre *Oxymycterus rufus* (Cricetidae: Sigmodontinae).
20. Filariosis canina: descripción morfológica de las microfilarias.

EVIDENCIA MICROSCÓPICA DE HEPATOOZON SPP. EN UN AGUARÁ GUAZÚ

¹Marcelo Fabián Ruiz, ^{1,2}Johann Barolin, ²María Celeste Facelli, ¹Fabián Oscar Aguirre, ^{3,4}Antonio Alejandro Sciabarrasi, ²Lucas Monje.

¹Laboratorio de Análisis Clínicos, Hospital de Salud Animal, Facultad de Ciencias Veterinarias, Universidad Nacional del Litoral. ²Laboratorio de Ecología de Enfermedades, Instituto de Ciencias Veterinarias del Litoral, Consejo Nacional de Investigaciones Científicas y Técnicas.

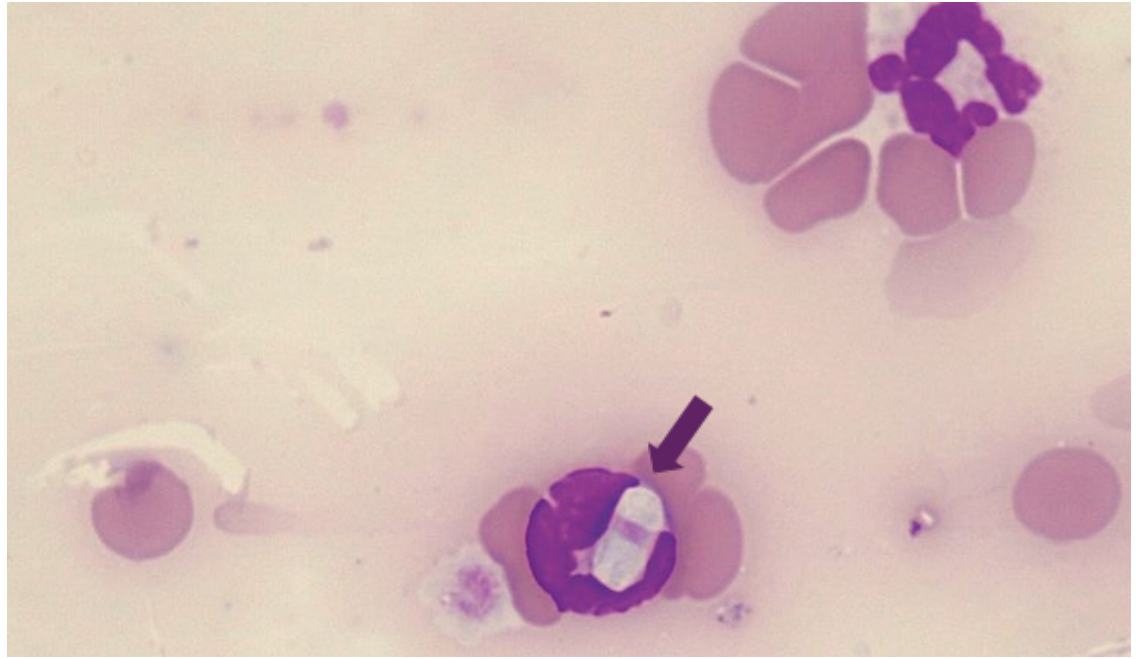
³Centro de Rescate e Interpretación de la Fauna La Esmeralda, Ministerio de Ambiente y Cambio Climático de Santa Fe. ⁴Cátedra de Zootología, Diversidad y Ambiente, Facultad de Ciencias Veterinarias, Universidad Nacional del Litoral. laboratorioclinico@fcv.unl.edu.ar

Año 3. Número 3 (2023)
ISSN: 2953-4224

Revista de Divulgación de Fotografías Científicas de la Medicina Veterinaria



Facultad de Ciencias Veterinarias
Universidad Nacional del Litoral



El hallazgo contribuye al conocimiento de los agentes infecciosos a los cuales el aguará guazú puede ser susceptible.

Hepatozoon es un hemoprotozoario, apicomplejo, que parasita las células sanguíneas de anfibios, reptiles, aves y mamíferos domésticos como silvestres. Específicamente en mamíferos, infecta a leucocitos neutrófilos y monocitos.

La microfotografía documenta el hallazgo de gamontes de *Hepatozoon spp.* en el interior de neutrófilos de una muestra de sangre perteneciente a un aguará guazú (*Chrysocyon brachyurus*) del Centro de Rescate e Interpretación de la Fauna La Esmeralda (Santa Fe, 31°38'0"S, 60°42'0"O). Los gamontes tenían forma elipsoidal, alargados, de 9 x 4 µm en promedio y estaban teñidos de color celeste

grisáceo (Flecha violeta). Este hallazgo, inédito para nuestra región, contribuye al conocimiento de los agentes infecciosos a los cuales el aguará guazú puede ser susceptible.

Área: Parasitología.

Palabras claves: Hemopatógenos, Diagnóstico, *Chrysocyon brachyurus*.

Detalles técnicos: Boeco 300/I/SP, Microscopía óptica 1.000x, Filtro azul.

Referencia Bibliográfica

Orozco MM, González Cicci P, Soler L. 2015. El aguará guazú en la Argentina. 1° Ed. Fundación de Historia Natural Félix de Azara. CABA, Bs As. ISBN 9789873781230, pp 279. Ruiz MF, Zimmermann R, Aguirre F, Bono MF, Widenhorn N. 2014. Hallazgo de *Hepatozoon canis* en caninos (*Canis familiaris*) en la ciudad de Esperanza, Santa Fe (Argentina). FAVE Sección Ciencias Veterinarias, 12(1/2), pp15-20.

MICOSIS DE BOLSA GUTURAL EN EQUINOS, DIAGNÓSTICO ENDOSCÓPICO

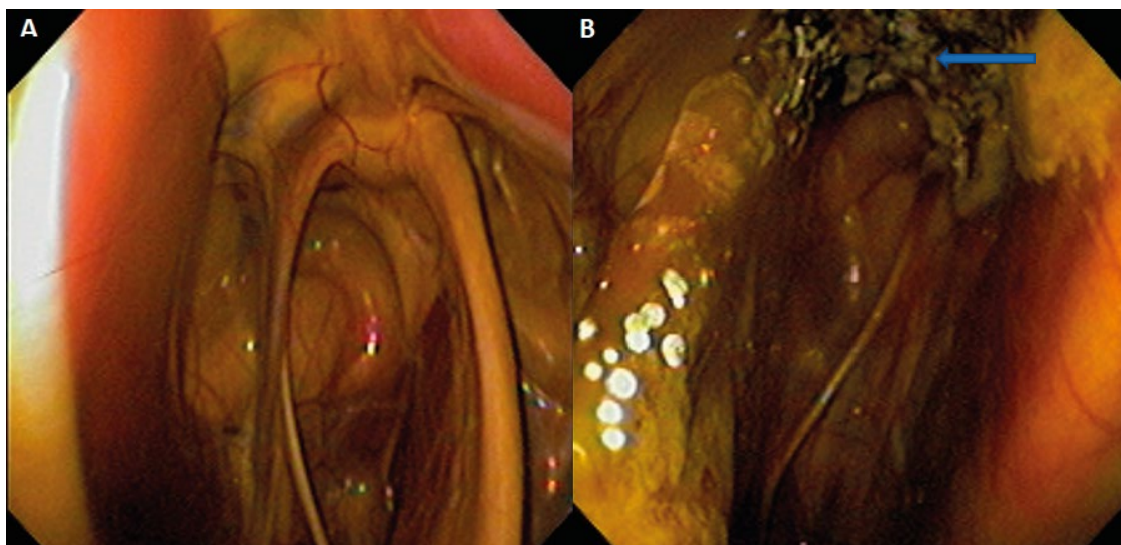
Ramón Andrés López, Candelaria Zubia, Hugo Orlando Hernández, Violeta Ferreira y Marcos Germán Muriel.
 Cátedra Medicina Equina, Facultad de Ciencias Veterinarias, Universidad Nacional de La Plata. rlopez@fcv.unlp.edu.ar

Año 3. Número 3 (2023)
 ISSN: 2953-4224

Revista de Divulgación de Fotografías Científicas de la Medicina Veterinaria



Facultad de Ciencias Veterinarias
 Universidad Nacional del Litoral



El diagnóstico de micosis gutural se basó en el examen endoscópico que permitió la visualización directa de las membranas diftéricas y la toma de muestra para el cultivo micológico.

Endoscopia de las bolsas guturales de un equino, SPC, macho, 4 años, cuyo motivo de consulta fue descarga nasal alimenticia. Imagen A: Bolsa gutural izquierda sin particularidades. Imagen B: Presencia de placas fibrinonecroticas en hueso estilohioideo, algunas blanquecinas y otras verdes y grisáceas ubicadas en dorsal del compartimento medial de bolsa gutural derecha (flecha azul). La micosis de las bolsas guturales (condición potencialmente mortal en equinos debido al daño producido en estructuras nerviosas y vasculares) presenta una signología variada: descarga nasal, epistaxis, disfagia, parálisis facial, síndrome de Horner, dolor parotídeo.

Se han reportado diferentes géneros de hongos afectando las bolsas guturales, siendo *Aspergillus spp.* el más frecuentemente aislado. El diagnóstico de micosis gutural se basó en el examen endoscópico que permitió la visualización directa de las membranas diftéricas y la toma de muestra para el cultivo micológico.

Área: Patología Clínica.

Palabras claves: Descarga nasal, *Aspergillus spp.*, placas fibrinonecroticas.

Detalles técnicos: Imagen capturada de Endoscopio Olympus GIF, procesador de imagen Olympus (CV 145), y procesada por Pinacle Studio 8.

Referencia Bibliográfica
 Chidlow, H. B., & Slovis, N. M. 2017. Guttural pouch mycosis in two foals. *Equine Veterinary Education*, 29(4), 213-218.
 Freeman, D. E. 2008. Complications of surgery for diseases of the guttural pouch. *Veterinary Clinics of North America: Equine Practice*, 24(3), 485-497.
 Ludwig, A., Gatineau, S., Reynaud, M. C., Cadore, J. L., & Bourdoiseau, G. 2005. Fungal isolation and identification in 21 cases of guttural pouch mycosis in horses (1998-2002). *The veterinary journal*, 169(3), 457-461.

LESIONES MACROSCÓPICAS Y MICROSCÓPICAS DE UN CASO DE PARATUBERCULOSIS BOVINA

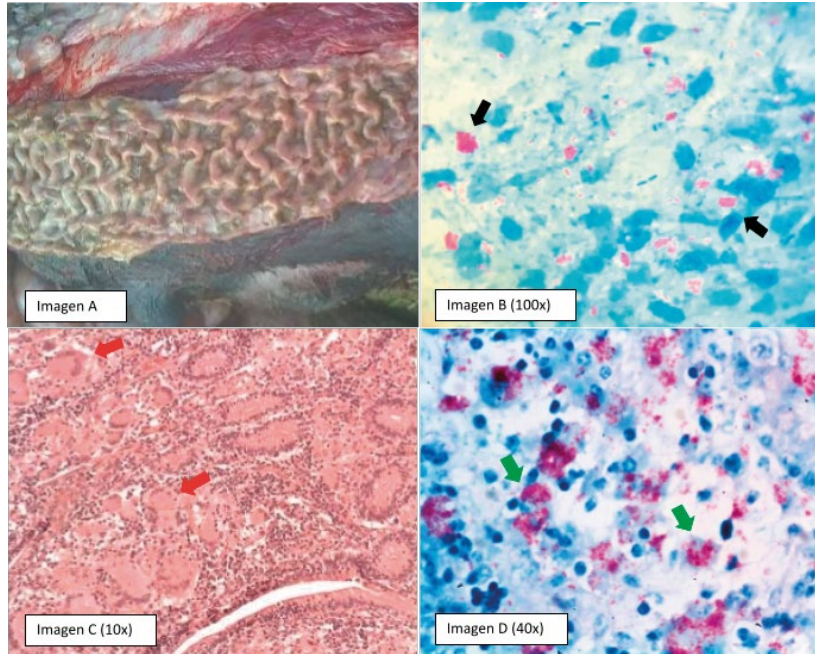
¹Fabián Aguirre, ²David Gutman, ³Nicolas Rollón, ³Carlos Moroni, ²Franco Berardi, ¹Martín Allasia, ¹María del Rocío Marini, ¹Marcelo Fabián Ruiz
¹Facultad de Ciencias Veterinarias, Universidad Nacional del Litoral. ²Actividad privada.
 laboratorioclinico@fcv.unl.edu.ar

Año 3. Número 3 (2023)
 ISSN: 2953-4224

Revista de Divulgación de Fotografías Científicas de la Medicina Veterinaria

FCV

Facultad de Ciencias Veterinarias
 Universidad Nacional del Litoral



Las fotografías pertenecen a un caso correspondiente a una vaca de raza Holando Argentino de un tambo comercial ubicado en la localidad de Colonia Tacurales (provincia de Santa Fe 30°49'23.3"S 61°44'42.0"W). El animal murió luego de un cuadro de diarrea crónica de 3 semanas de evolución.

La imagen A corresponde a una foto macroscópica obtenida durante la necropsia, donde se muestra la última porción del intestino delgado (íleon) con marcado engrosamiento de la mucosa y formación de pliegues que le dan aspecto semejante a las circunvoluciones cerebrales. La imagen B es una microfotografía a 1000 aumentos de un extendido realizado a partir del raspaje con bisturí de la mucosa intestinal afectada, teñido con la técnica de Ziehl Neelsen. Se observan gran cantidad de bacilos ácido-alcohol resistentes, de color rojo, formando "nidos" (flechas negras). En la imagen C se muestra un corte histológico de un trozo de íleon fijado en formol al

10% y coloreado con Hematoxilina & Eosina. Se observa enteritis granulomatosa difusa, con proliferación de tejido epitelioides y gran cantidad de células gigantes de Langhans en la lámina propia de la mucosa (flechas rojas). La imagen D corresponde a una fotografía microscópica a 400 aumentos del corte histológico del intestino, coloreado con Ziehl Neelsen, donde también se evidencian gran cantidad de bacilos color rojizo, muchos en el interior de los macrófagos (flechas verdes). Las lesiones descritas y la visualización de bacterias ácido-alcohol resistentes intralesionales y en la mucosa intestinal permitió realizar el diagnóstico de Paratuberculosis.

Área: Clínica Animal.

Palabras claves: *Diarrea crónica, Diagnóstico, Bovinos.*

Detalles técnicos: Samsung Galaxy A10. Cámara de 5Mpx. Fotos microscópicas: Boeco 300/1/SP, Microscopía óptica 10x, 400x y 100x. Filtro azul.

Referencia Bibliográfica

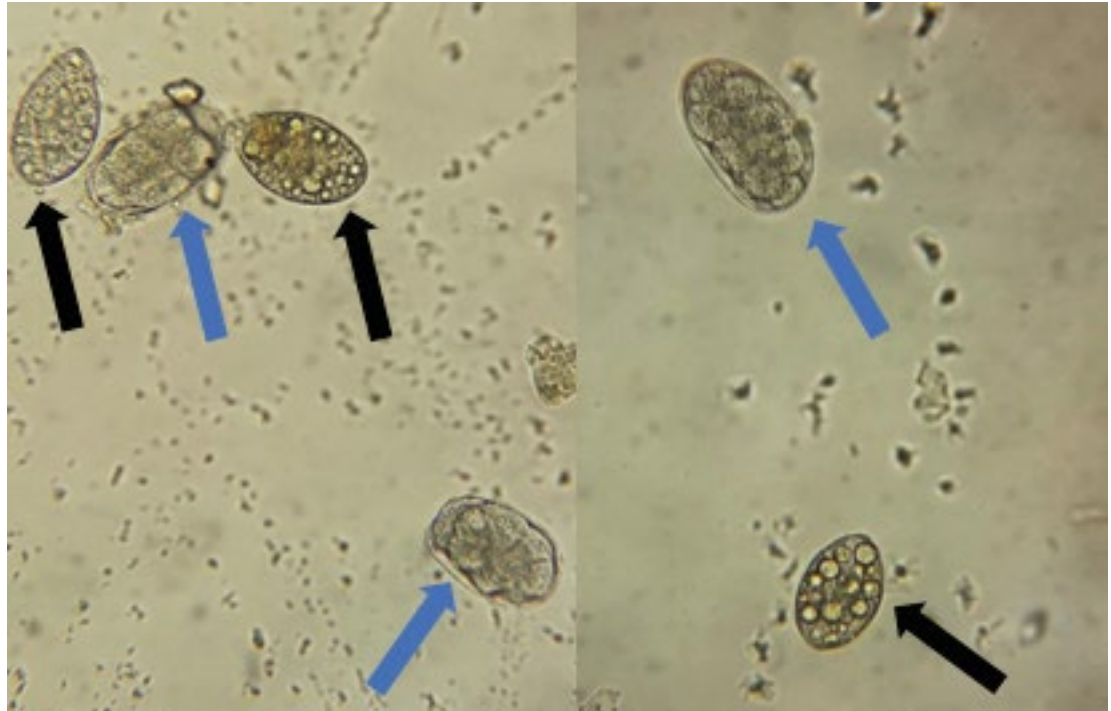
Abdala A, Aguirre N, Luca E, Storani G, Storero R, Echaide S. 2019. Seroprevalencia de Paratuberculosis bovina en rodeos de cría y de leche de dos departamentos de la provincia de Santa Fe (Argentina). *Invet*, 21:17-26.

HUEVOS DE PARÁSITOS GASTROINTESTINALES EN HECES DE PUMA (*PUMA CONCOLOR*)

¹Derly Xiomara Cano Triana, ¹Juan Ignacio Lescano, ¹Fabián Oscar Aguirre, ^{2,3}Antonio Alejandro Sciabarrasi, ¹Marcelo Fabián Ruiz
¹Laboratorio de Análisis Clínicos, Hospital de Salud Animal, Facultad de Ciencias Veterinarias, Universidad Nacional del Litoral. ²Centro de Rescate e Interpretación de la Fauna La Esmeralda, Ministerio de Ambiente y Cambio Climático de Santa Fe. ³Cátedra de Zoología, Diversidad y Ambiente, Facultad de Ciencias Veterinarias, Universidad Nacional del Litoral.
laboratorioclinico@fcv.unl.edu.ar

Año 3. Número 3 (2023)
 ISSN: 2953-4224

Revista de Divulgación de Fotografías Científicas de la Medicina Veterinaria



FCV

Facultad de Ciencias Veterinarias
 Universidad Nacional del Litoral

La microfotografía aporta información sobre la fauna parásita que puede afectar a los felinos silvestres.

Fotografía de huevos de parásitos gastrointestinales observados durante el examen coproparasitológico (Método de Teuscher) de una muestra de materia fecal perteneciente a un *Puma concolor* del Centro de Rescate e Interpretación de la Fauna La Esmeralda (Santa Fe, 31°38'0" S, 60°42'0" O). Por las características morfométricas se reconocieron:

A) Huevos de cestodes del orden Pseudophyllidea, de forma ovoide, tinte amarillo grisáceo, cubierta lisa, con un opérculo en uno de los polos, cuyas medidas oscilan entre 55-60 x 40-45 μm (flecha negra).

B) Huevos de nematodes del género *Ancylostoma*, ovalados, de cáscara fina y lisa, con

cámara de aire y 6 a 8 blastómeros en su interior, sus tamaños aproximado entre 60-70 x 45 μm (flecha celeste).

La microfotografía aporta información sobre la fauna parásita que puede afectar a los felinos silvestres.

Área: Parasitología.

Palabras claves: *Nematodes, Cestodes, Felinos silvestres.*

Detalles técnicos:
 Boeco 300/I/SP, Microscopía óptica 400x, Filtro azul.

Referencia Bibliográfica
 Hendrix, C. 1999. Diagnóstico parasitológico veterinario. Harcourt Brace. Madrid, España. ISBN 8481743925, pp 325.
 Pérez Tort G, Iglesias MF, Mas J. 2008. Atlas de parasitología en pequeños animales. Intermédica. Buenos Aires, Argentina. ISBN 9789505553457, pp 73.

EMPIEMA DE BOLSA GUTURAL EN UN EQUINO: DIAGNÓSTICO ENDOSCÓPICO

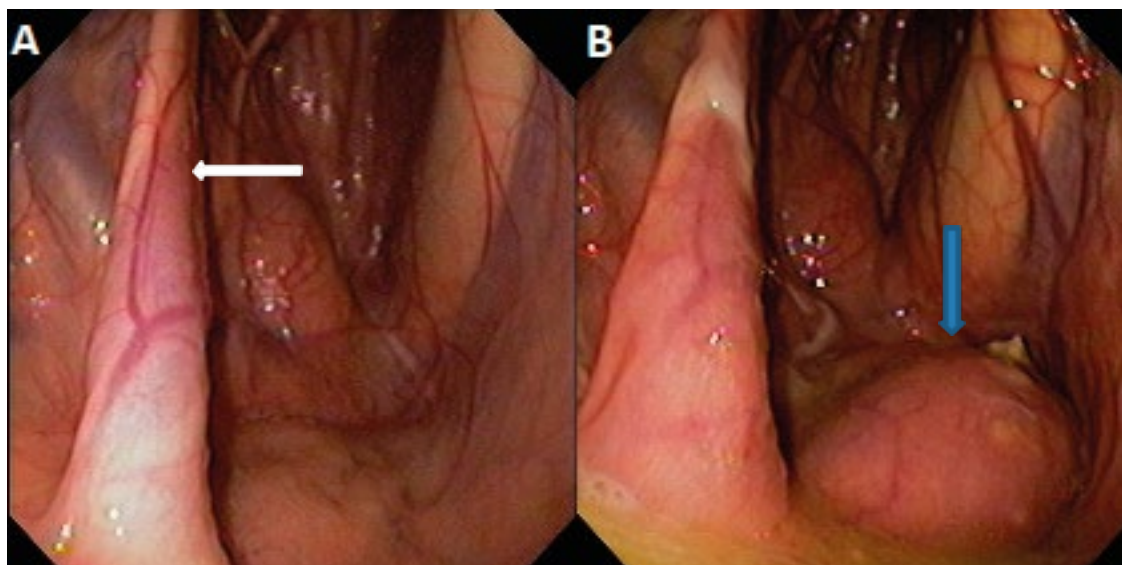
Candelaria Zubia, Marcos Germán Muriel, Hugo Orlando Hernández, Violeta Ferreira, Ramón Andrés López
 Cátedra Medicina Equina, Facultad de Ciencias Veterinaria, Universidad Nacional de La Plata. czubia@fcv.unlp.edu.ar

Año 3. Número 3 (2023)
 ISSN: 2953-4224

Revista de Divulgación de Fotografías Científicas de la Medicina Veterinaria

FCV

Facultad de Ciencias Veterinarias
 Universidad Nacional del Litoral



Imágenes obtenidas durante la evaluación endoscópica de las bolsas guturales de un equino Angloárabe, macho, de 3 años, cuyo motivo de consulta fue descarga nasal purulenta y linfadenomegalia en región parotídea.

Infecciones del tracto respiratorio superior, especialmente causadas por *Streptococcus Equi* subespecie *Equi*, pueden causar abscesos de los linfonódulos retrofaríngeos (*Adenitis*) los cuales pueden fistulizar hacia el interior de la bolsa gutural, generando el acúmulo de material purulento en su interior, condición denominada empiema de bolsas guturales. La herramienta diagnóstica más valiosa es la endoscopia en reposo.

En la imagen A se observa la bolsa gutural derecha constituida por el compartimiento medial de mayor tamaño y otro lateral más

pequeño, separados por el hueso estilohioides (flecha blanca).

En la imagen B se visualiza en el piso del compartimiento medial de la bolsa gutural derecha la protrusión y fistulización del linfonódulo retrofaríngeo medio (flecha azul), presencia de pus fluido (empiema agudo) ubicado en el piso y sobre el hueso estilohioides.

Área: Clínica Animal.

Palabras claves: Descarga nasal, *Streptococcus Equi Equi*, Endoscopia.

Detalles técnicos:

Imagen capturada de Endoscopio Olympus GIF, procesador de imagen Olympus (CV 145), y procesada por Pinnacle Studio 8.

Referencia Bibliográfica

Freeman, D. E. 2008. Complications of surgery for diseases of the guttural pouch. *Veterinary Clinics of North America: Equine Practice*, 24(3), 485-497.
 Muriel, M. G., López, R. A., Frezza, M. S., Hernández, H. O., & Ferreira, V. 2021. Manual de enfermedades de los equinos. Primera edición. Edulp. Buenos Aires. Tomo 1. ISBN 9789503420706 aparato respiratorio de los equinos. pp 163 - 172

LEISHMANIA SPP. EN SANGRE CAPILAR

¹Arroyo Franco José, ¹ Cooper Laura Gabriela, ¹⁻²Caffe Gabriel

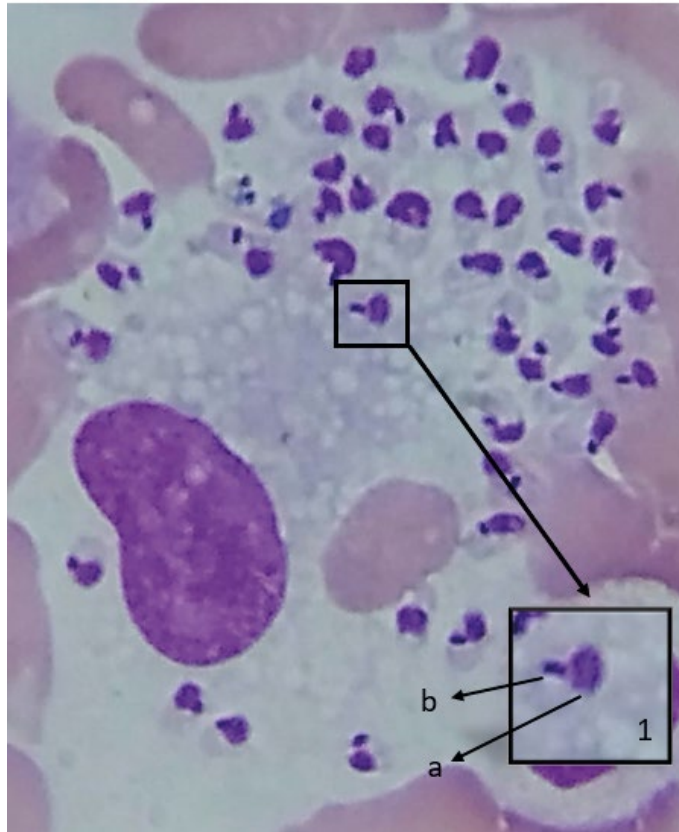
¹Universidad Católica de Córdoba. Cátedras de Parasitología y Enfermedades Parasitarias. Laboratorio de Parasitología del Hospital Veterinario. ²Universidad Nacional de Villa María, Cátedra de Parasitología y Enfermedades Parasitarias. kuruzu86@gmail.com

Año 3. Número 3 (2023)
ISSN: 2953-4224

Revista de Divulgación de Fotografías Científicas de la Medicina Veterinaria

FCV

Facultad de Ciencias Veterinarias
Universidad Nacional del Litoral



La muestra se obtuvo por venipunción del pabellón auricular de un canino macho, mestizo de 8 años de edad, con síntomas dermatológicos y signos de anemia.

Se observan en la imagen de un frotis de sangre capilar teñido con panóptico rápido (Diff Quick) un monocito con numerosos amastigotes de *Leishmania spp.* intracitoplasmáticos (1). La muestra se obtuvo por venipunción del pabellón auricular de un canino macho, mestizo de 8 años de edad, con síntomas dermatológicos y signos de anemia (noviembre 2019, ciudad de Córdoba: 31°20'40.8"S 64°16'03.7"O). La forma intracelular de este parásito (aflagelar) se caracteriza por tener una apariencia ovoide de 2 a 4 micras, y por contener en su interior un núcleo esférico voluminoso (a), de posición

excéntrica y próximo a un kinetoplasto (b) de aspecto bacilar en posición perpendicular. La observación de estas estructuras en sangre periférica constituye un interesante hallazgo, ya que lo más frecuente es encontrarlas en punciones de tejidos como bazo, médula ósea o ganglios linfáticos.

Área: Parasitología.

Palabras claves: Amastigotes, Frotis, Diagnóstico.

Detalles técnicos:

Microscopio óptico Arkano empleando objetivo de 100X y fotografía tomada con celular Motorola S6.

Referencia Bibliográfica

Cortese L, Pelagalli A, Piantedosi D, Mastellone V, Manco A, Lombardi P, Ciaramella P, Avallone L. 2006. Platelet aggregation and haemostatic response in dogs naturally co-infected by *Leishmania infantum* and *Ehrlichia canis*. *J Vet Med A Physiol Pathol Clin Med*, 53(10):546-548.
Giudice E, Passantino A. 2011. Detection of *Leishmania* amastigotes in peripheral blood from four dogs. *Acta Vet Hung*. 59(2):205-213.
Oliveira GA, Sarmento VAS, Costa EWDS, Pessoa-E-Silva R, Morais RCS, Ferreira RR, Feitosa APS, Brayner FA, Alves LC. 2021. Detection of *Leishmania infantum* amastigotes in neutrophil from peripheral blood in a naturally infected dog. *Rev Bras Parasitol Vet*. 9;30(3):e004821.

HUEVOS DE *PEARSONEMA PLICA* EN SEDIMENTO URINARIO DE UN AGUARÁ GUAZÚ

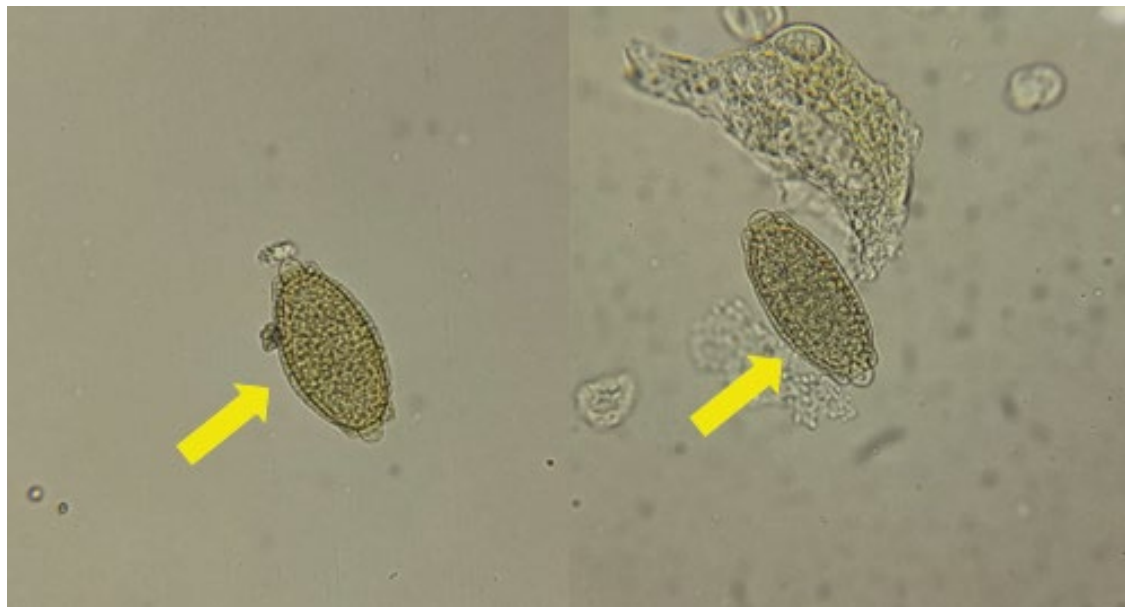
¹Tomás Ferrer, ²Adèle Clement, ¹Fabián Oscar Aguirre, ¹Rossana Zimmermann, ^{3,4}Antonio Alejandro Sciabarrasi, ¹Marcelo Fabián Ruiz
¹Laboratorio de Análisis Clínicos, Hospital de Salud Animal, Facultad de Ciencias Veterinarias, Universidad Nacional del Litoral. ²École Nationale Vétérinaire de Toulouse. ³Centro de Rescate e Interpretación de la Fauna La Esmeralda, Ministerio de Ambiente y Cambio Climático de Santa Fe. ⁴Cátedra de Zoología, Diversidad y Ambiente, Facultad de Ciencias Veterinarias, Universidad Nacional del Litoral.
laboratorioclinico@fcv.unl.edu.ar

Año 3. Número 3 (2023)
ISSN: 2953-4224

Revista de Divulgación de Fotografías Científicas de la Medicina Veterinaria



Facultad de Ciencias Veterinarias
Universidad Nacional del Litoral



La fotografía corresponde a la investigación microscópica del sedimento urinario de un aguará guazú (*Chrysocyon brachyurus*) perteneciente al Centro de Rescate e Interpretación de la Fauna La Esmeralda (Santa Fe, 31°38'0"S, 60°42'0"O).

Se visualizan huevos de forma oval, amarillentos, con tapones bipolares aplanados, de cáscara de doble membrana y cuyos tamaños oscilan entre 55-65 x 25-30 µm, aproximadamente (flecha amarilla).

La morfometría descripta corresponde a huevos de *Pearsonema plica*, nematodo que infesta la vejiga urinaria de caninos, felinos y otras especies de carnívoros domésticos y salvajes. Este hallazgo, cobra significado en un intento por ampliar el conocimiento de los patógenos que pueden afectar al aguará guazú.

Área: Parasitología.

Palabras claves: Urianálisis, Diagnóstico, *Chrysocyon brachyurus*.

Detalles técnicos:
Boeco 300/I/SP, Microscopía óptica 400x, Filtro azul.

Referencia Bibliográfica
Pérez Tort G, Iglesias MF, Mas J. 2008. Atlas de parasitología en pequeños animales. Intermédica. Buenos Aires, Argentina. ISBN 9789505553457, pp 73.

CORRESPONDENCIA DE LESIONES MACRO Y MICROSCÓPICAS EN UN QUISTE PARAPROSTÁTICO

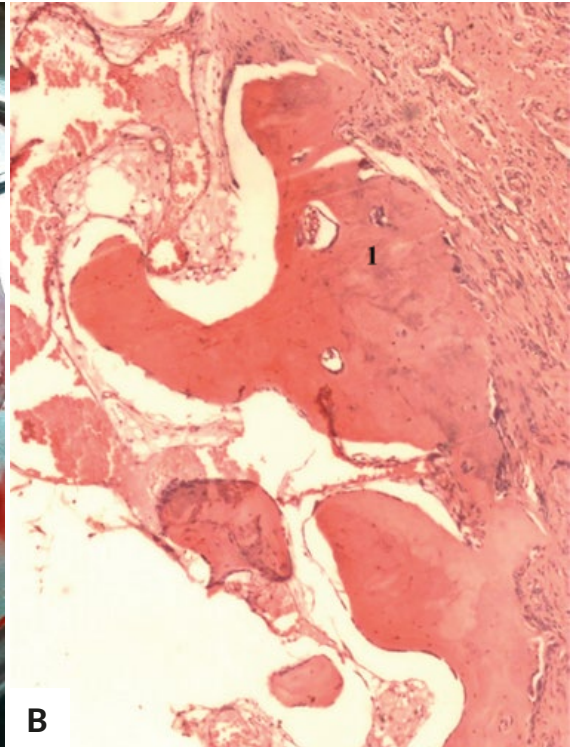
Lucía Bagattin, Josefina Yanet Bando, María del Rocío Marini
Laboratorio de Anatomía Patológica, Hospital de Salud Animal, Facultad de Ciencias Veterinarias, Universidad Nacional del Litoral.
luciabagattin47@gmail.com

Año 3. Número 3 (2023)
ISSN: 2953-4224

Revista de Divulgación de Fotografías Científicas de la Medicina Veterinaria

FCV

Facultad de Ciencias Veterinarias
Universidad Nacional del Litoral



Fotografía macroscópica y microfotografía de quiste paraprostático con metaplasia osteocartilagínea en un canino, raza Braco, de 8 años.

En la foto A se observa la luz de una estructura quística abierta, de paredes delgadas y duras, compuestas por placas óseas. Hacia la luz se proyectan espículas (flechas celeste) de hueso color amarillo, que crecen hasta formar estructuras de 0,5 a 1 cm (flecha amarilla). El quiste midió 18 cm de largo y 10 cm de diámetro y en su interior contenía líquido serosanguinolento. El extremo estaba unido a la próstata por un conducto duro.

En la microfotografía B se observa el corte histológico de una sección de la pared quística, que muestra tejido conectivo con abundantes vasos sanguíneos, ligera infiltración linfoplasmocitaria y tejido óseo compacto maduro formando una espícula (1), con zonas de mineralización. La imagen microscópica

explica lo observado macroscópicamente. Los quistes paraprostáticos afectan a caninos, produciendo hematuria, disuria y dolor abdominal, son poco frecuentes y escasamente descriptos, considerándose patologías congénitas. En ellos se produce obstrucción de ductos glandulares; la secreción glandular distiende el tejido, formándose el quiste. La pared puede sufrir metaplasia osteocartilagínea, como se observa en ambas fotografías

Área: Citopatología e Histopatología.

Palabras claves: Metaplasia, Próstata, Canino.

Detalles técnicos:

Foto A: Cámara fotográfica Cannon Power Shot SX 130 IS. Foto B: Aumento 40x. Microscopio Olympus CX 40 con cámara digital Olympus U-CMAD3. Tinción realizada: Hematoxilina & Eosina.

Referencia Bibliográfica

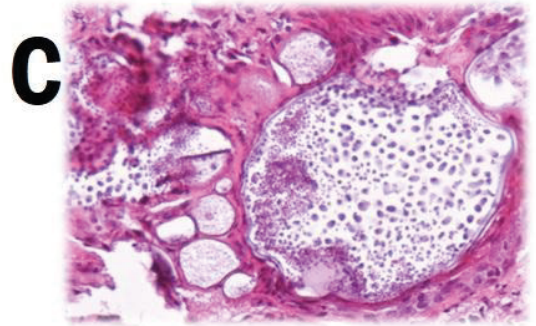
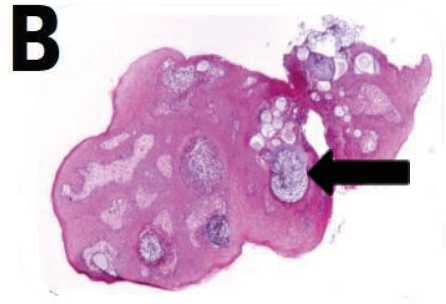
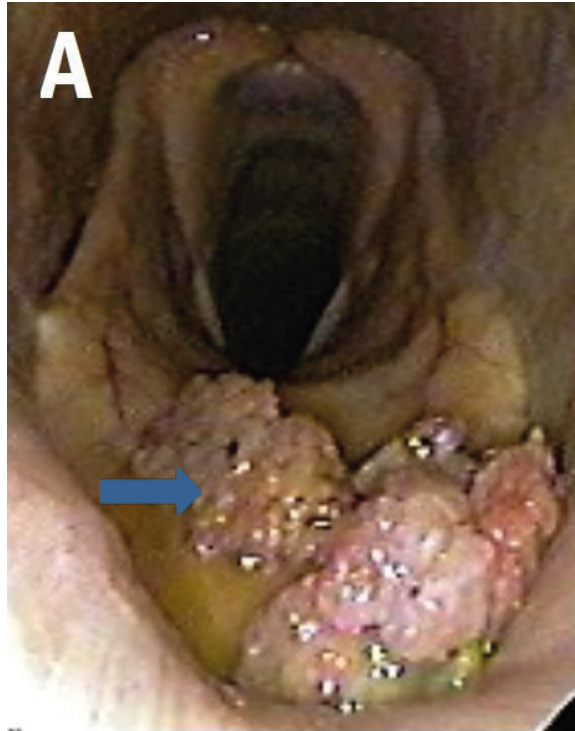
Jubb, Kennedy, and Palmer's. 2016. Pathology of domestic animals. Sexta Edición. Elsevier. Riverport Lane St. Louis, Missouri 63043. ISBN 97807020-53191, pp 500.

RINOSPORIDIOSIS EN LARINGE EN UN EQUINO

¹Ramón Andrés López, ¹Candelaria Zubia, ¹María Florencia Boffa, ²Adriana Raquel Massone, ¹Hugo Orlando Hernández, ¹Violeta Ferreira, ¹Marcos Germán Muriel.
¹Cátedra Medicina Equina, ²Laboratorio de Patología Especial Veterinaria (LAPEVET), Facultad de Ciencias Veterinaria, Universidad Nacional de La Plata. rlopez@fcv.unlp.edu.ar

Año 3. Número 3 (2023)
ISSN: 2953-4224

Revista de Divulgación de Fotografías Científicas de la Medicina Veterinaria



FCV

Imagen endoscópica de un equino, que acude a la consulta por ruidos respiratorios anormales.

En la imagen endoscópica de laringe (Imagen A), se observa en la cara dorsal del cartílago epiglótico la presencia de masas moruladas de color rosadas de apariencia friables (flecha azul), correspondiente a un equino, mestizo, hembra, 12 años, cuyo motivo de consulta era por ruidos respiratorios anormales.

En la imagen B se observan múltiples esporangios maduros (flecha negra) de *Rhinosporidium seeberi*, con severa repuesta inflamatoria (HE, x10).

En la imagen C, esporangios juveniles y esporangios maduros (HE, x20).

Área: Clínica animal.

Palabras claves: Ruidos respiratorios anormales, masas, *Rhinosporidium seeberi*.

Detalles técnicos:
Imagen A capturada de Endoscopio Olympus GIF, procesador de imagen Olympus (CV 145), y procesada por Pinnacle Studio 8. Imagen B y C Microscopio Nikon ECLIPSE 50 i. Cámara Nikon DS-Fi2.

Referencia Bibliográfica

Burgess, H. J., Lockerbie, B. P., Czerwinski, S., & Scott, M. 2012. Equine laryngeal rhinosporidiosis in western Canada. *Journal of Veterinary Diagnostic Investigation*, 24(4), 777-780.
Leeming, G., Smith, K. C., Bestbier, M. E., Barrelet, A., & Kípar, A. 2007. Equine rhinosporidiosis in United Kingdom. *Emerging Infectious Diseases*, 13(9), 1377.
Tizzano MA, Della Vedova R, López RA, Amor V, Zubía C, Córdoba SB & Reynaldi FJ (2022). Rhinosporidiosis equina en Buenos Aires, Argentina. *Revista Argentina de Microbiología*, 54 (1), 22-24.

CRIPTOCOCOSIS MESENTÉRICA EN UN CANINO

¹Carolina Repetto, ²Franco Vega, ³María del Rocío Marini.

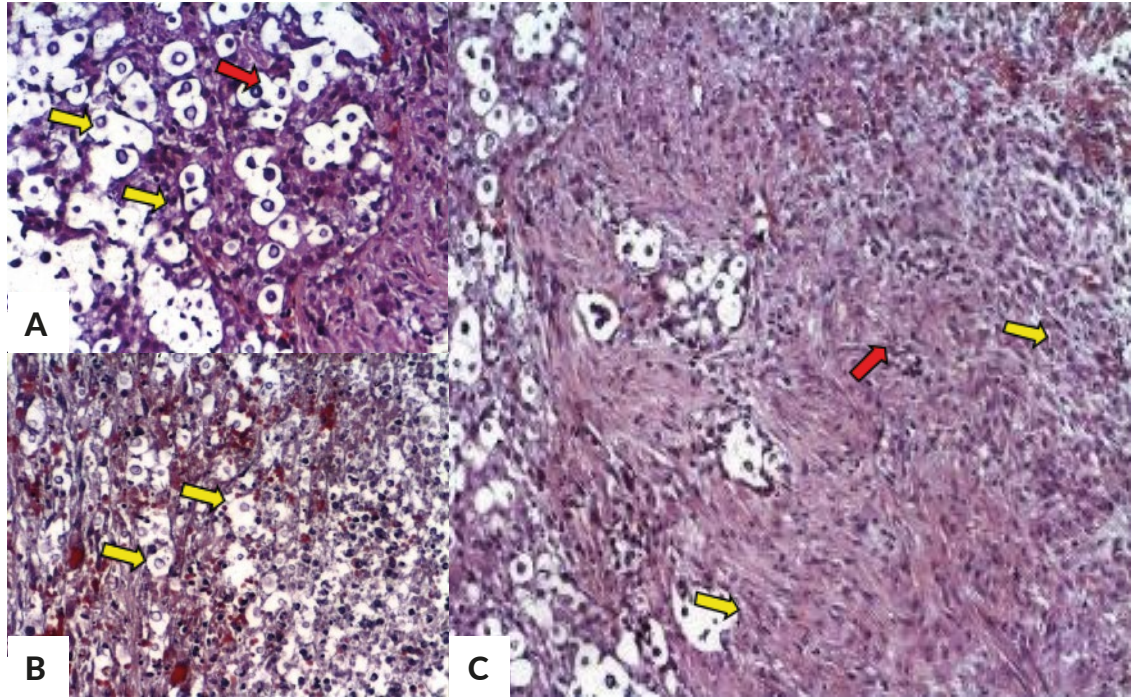
¹Cátedra de Genética Veterinaria y Mejoramiento Animal, Facultad de Ciencias Veterinarias, Universidad Nacional del Litoral. ²Laboratorio de Análisis Clínicos. ³Laboratorio de Anatomía Patológica, Hospital de Salud Animal, Facultad de Ciencias Veterinarias, Universidad Nacional del Litoral. carorepetto@hotmail.com.ar

Año 3. Número 3 (2023)
ISSN: 2953-4224

Revista de Divulgación de Fotografías
Científicas de la Medicina Veterinaria

FCV

Facultad de Ciencias Veterinarias
Universidad Nacional del Litoral



Microfotografías de cortes histológicos obtenidos a partir de una masa mesentérica extraída de una hembra canina de 5 años, con signos de abdomen agudo.

En las fotografías se observa pérdida de la arquitectura tisular, con marcado predominio de estructuras levaduriformes (flechas amarillas), redondas a ovales, basófilas,

rodeadas de una cápsula gruesa, no teñida. Algunas estructuras se encuentran en gemación (flechas rojas).

La morfología de las levaduras es compatible con *Cryptococcus neoformans*. La documentación de éste caso cobra relevancia debido a su localización poco frecuente en los pequeños animales.

Área: Citopatología e Histopatología.

Palabras claves: *Cryptococcus neoformans*; Levaduras; Mesenterio.

Detalles técnicos:

Tinción Hematoxilina&Eosina, Aumento 100x (fotografía C) y 200x (fotografías A y B). Microscopio Olympus CX 40 con cámara digital Olympus U-CMAD3.

Referencia Bibliográfica

Jennifer R Cook, Karen E Russell, Kristin B Eden & Aline Rodrigues-Hoffmann (2012) Mesenteric cryptococcal granuloma in a dog caused by *Cryptococcus neoformans* var. *grubii*, *Veterinary Medicine: Research and Reports*, 3, 93-98.
Johnston, L., Mackay, B., King, T., Krockenberger, M.B., Malik, R. and Tebb, A. (2021), Abdominal cryptococcosis in dogs and cats: 38 cases (2000-2018). *J Small Anim Pract*, 62: 19-27.

HEPATOZOOON CANIS, PECULIAR HALLAZGO EN UN FROTIS SANGUÍNEO

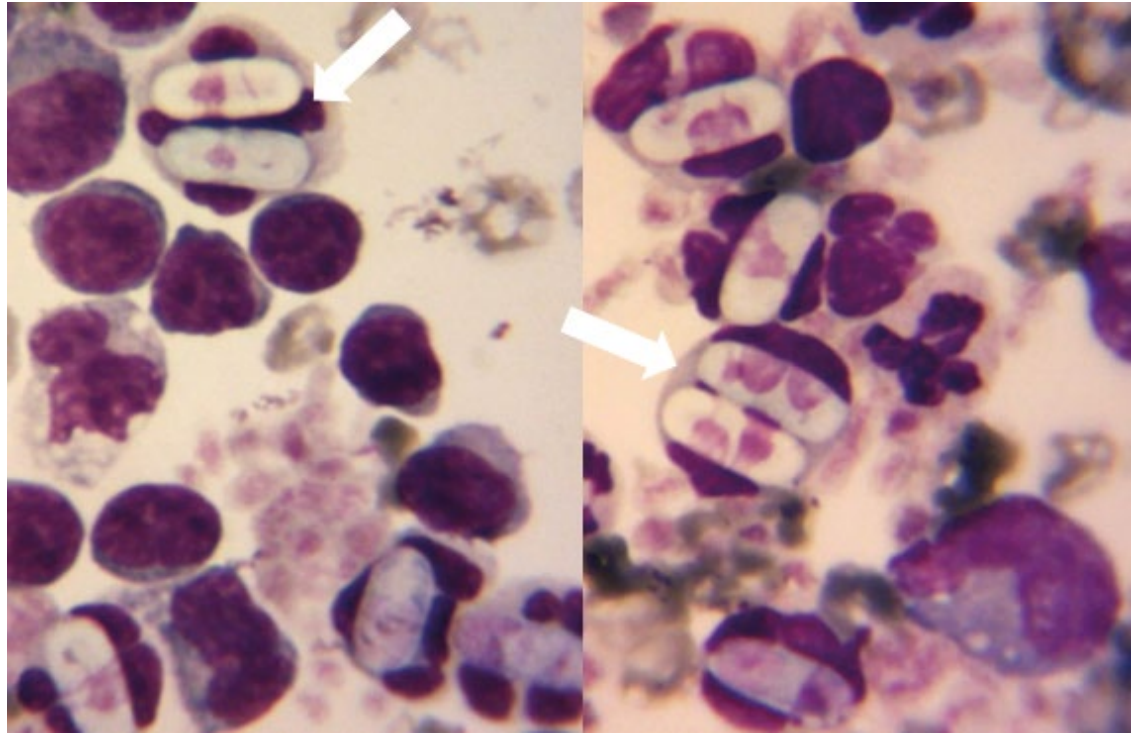
¹Marcelo Fabián Ruiz, ¹Fabián Oscar Aguirre, ¹Rossana Zimmermann, ²María Soledad Forti.

¹Laboratorio de Análisis Clínicos, Hospital de Salud Animal. Facultad de Ciencias Veterinarias, Universidad Nacional del Litoral. ²Actividad Privada, Clínica de Animales de Compañía.

laboratorioclinico@fcv.unl.edu.ar

Año 3. Número 3 (2023)
ISSN: 2953-4224

Revista de Divulgación de Fotografías Científicas de la Medicina Veterinaria



FCV

Facultad de Ciencias Veterinarias
Universidad Nacional del Litoral

El *Hepatozoon canis* es un apicomplexa que parasita los leucocitos de los caninos. Se transmite principalmente por la ingestión de la garrapata *Rhipicephalus sanguineus* infectada con el parásito.

La fotografía corresponde a un frotis sanguíneo perteneciente a un canino, macho de 6 meses, con fiebre, anorexia, secreción ocular y dificultad en la marcha. Durante la evaluación microscópica de los extendidos sanguíneos coloreados con May Grünwald-Giemsa, se

observó gamontes de *Hepatozoon spp.* de forma elipsoidal, de color azul hielo en el interior de neutrófilos. Se destaca que algunas de estas células blancas estaban parasitadas por dos gamontes (flecha blanca). Este singular y poco frecuente hallazgo probablemente se deba a la alta parasitemia que poseía el paciente (8.750/ul).

Área: Parasitología.

Palabras claves: Hemopatógeno, Diagnóstico, Microscopia.

Detalles técnicos:

Boeco 300/I/SP, Microscopía óptica 1000x, Filtro azul.

Referencia Bibliográfica

Eiras, D., Basabe, J., Scodellaro, C., Fontanarrosa, M., Vezzani, D.,

Mekuzas, Y., Gonen, L., Baneth, G. 2011. Epidemiología de la hepatozoonosis canina en Buenos Aires (Argentina) durante el período 2002-2008. Asociación Argentina de Veterinarios de Laboratorios de Diagnóstico. Boletín AAVLD. Vol 1P, 6 -7.

3- Ruiz, M., Zimmermann, R., Aguirre, F., Bono, M., y Widenhorn, N. 2013. Hallazgo de *Hepatozoon canis* en caninos (canis familiaris) en la ciudad de Esperanza, Santa Fe (Argentina). Revista FAVE - Ciencias Veterinarias UNL, 12 (1-2), 15-20.

CRISTALES DE CISTINA EN SEDIMENTO URINARIO DE UN CANINO

Cora Colla, Melina Gines, Gisel Schöder.

Laboratorio de Análisis Clínicos, Hospital de Grandes y Pequeños Animales, Facultad de Ciencias Veterinarias, Universidad Nacional de Rosario. coritacolla@hotmail.com

Año 3. Número 3 (2023)
ISSN: 2953-4224

Revista de Divulgación de Fotografías Científicas de la Medicina Veterinaria

FCV

Facultad de Ciencias Veterinarias
Universidad Nacional del Litoral



Los cristales de cistina (fecha roja) son placas hexagonales, incoloras, que pueden hallarse en orinas ácidas. La cristaluria por cistina nunca se considera un hallazgo normal y sugiere un defecto hereditario en el metabolismo de la cistina que puede conllevar al

desarrollo de urolitos. La foto fue obtenida de una muestra remitida de un caso de un paciente canino macho adulto para un urianálisis junto con un análisis de sangre, como control.

Área: Patología clínica.

Palabras claves: Orina, Cristaluria, Perro.

Detalles técnicos:
Microscopía óptica 40X, Olympus 31CX.. con cámara digital Olympus U-CMAD3.

Referencia Bibliográfica

Rizzi, T; Valenciano, A; Bowles, M; Cowell, R; Tyler, R; DeNicola, D. 2017. Atlas de urianálisis canino y felino. Multimédisca ediciones veterinarias. Barcelona. España. ISBN 97884-96344747, pp 190. Asociación Argentina de Veterinarios de Laboratorio de Diagnóstico. 2004. Manual de uroanálisis, Atlas de sedimento urinario. Sergio Cerullo. Buenos Aires. Argentina. ISBN 9872166706, pp 29.

RINOSPORIDIOSIS EN CAVIDAD NASAL EN UN EQUINO, SU DIAGNÓSTICO CITOLÓGICO

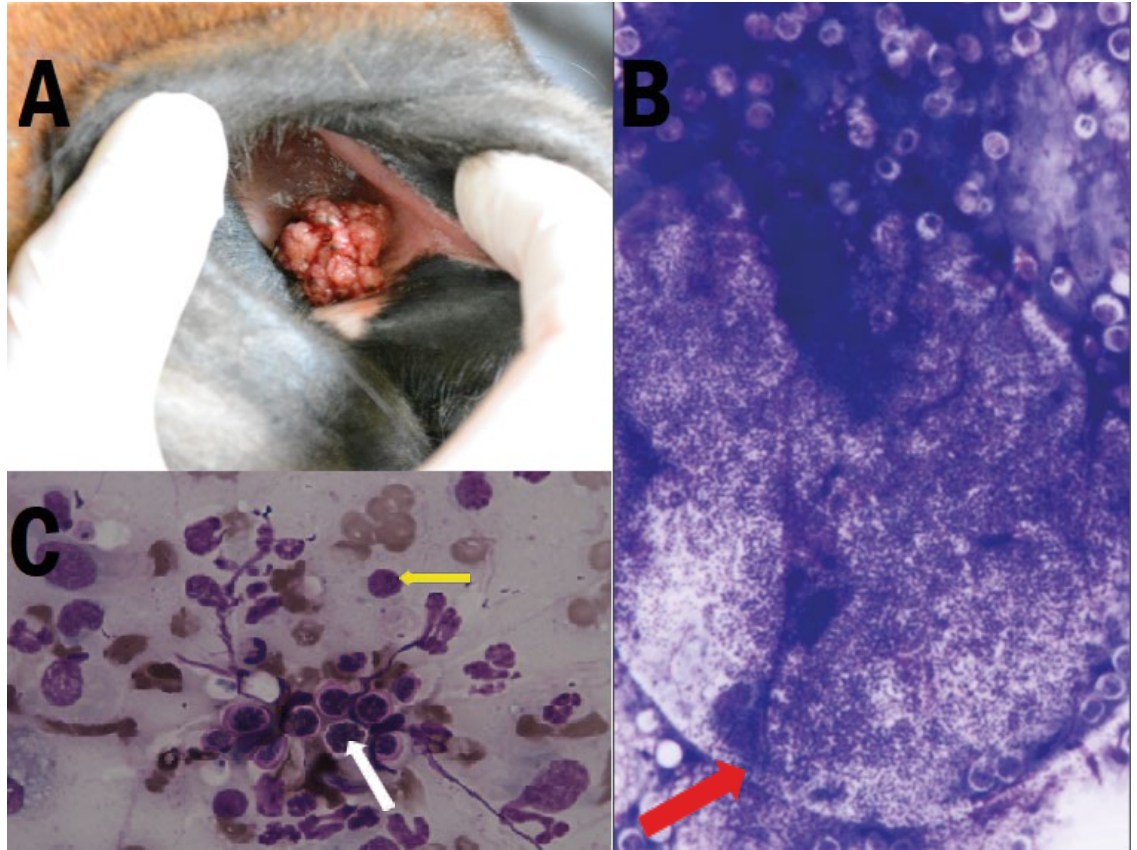
¹Candelaria Zubia, ¹Ramón Andrés López, ¹Horacio Terziotti, ¹Hugo Orlando Hernández, ¹Violeta Ferreira, ¹Marcos Germán Muriel, ²Adriana Raquel Massone.
¹Cátedra Medicina Equina, ²Laboratorio de Patología Especial Veterinaria (LAPEVET), Facultad de Ciencias Veterinaria, Universidad Nacional de La Plata.
lczubia@fcv.unlp.edu.ar

Año 3. Número 3 (2023)
ISSN: 2953-4224

Revista de Divulgación de Fotografías Científicas de la Medicina Veterinaria

FCV

Facultad de Ciencias Veterinarias
Universidad Nacional del Litoral



Las fotografías corresponden a un equino que acudió a la consulta por la presencia de una masa en ollar derecho.

En la imagen del ollar derecho (Imagen A), se observa en la unión mucocutánea una masa morulada de color rosadas de apariencias friables, correspondiente a un equino, mestizo, macho, 8 años, motivo de consulta presencia de una masa en ollar derecho.

En la imagen B se observan esporangios con endoconidios maduros e inmaduros (flecha roja), correspondientes a *Rhinosporidium seeberi*, (Tinción 15, Biopur, x10).

En la imagen C, endoconidios maduras (flecha blanca), e inmaduras (flecha amarilla) *R. seeberi* (Tinción 15. Biopur. x100). Destacamos que el diagnóstico citológico es un procedimiento útil, simple y rápido para el reconocimiento del *Rhinosporidium seeberi*.

Área: Clínica Animal.

Palabras claves: Masas, *Rhinosporidium Seeberi*, esporangios.

Detalles técnicos: Imagen A Nikon D5200, 18-55mm f/3.5-5.6G DX VR. Imagen B y C Microscopio Nikon ECLIPSE 50 i. Cámara Nikon DS-FI2.

Referencia Bibliográfica

Cowel, R; Tyler, R. 1992. Citology and Hematology of the Horse. Mosby.
Kamal, MM; Luley, AS; Mundhada, SK; Bobhate, SK. 1995. Rhinosporidiosis. Diagnosis by scrape cytology. Acta Cytologica 39 (5): 931-935.
Traub-Dagartz, J.; Brown, C. 1990. Equine endoscopy. C.V. Mosby Company.

OBSERVACIÓN DE EXCENTROCITOS EN UN EXTENDIDO SANGUÍNEO DE UN CANINO

¹Marcelo Fabián Ruiz, ¹Fabián Oscar Aguirre, ¹Rossana Zimmermann, ²María Soledad Forti.

¹Laboratorio de Análisis Clínicos, Hospital de Salud Animal, Facultad de Ciencias Veterinarias, Universidad Nacional del Litoral. ²Actividad Privada, Clínica de Animales de Compañía.

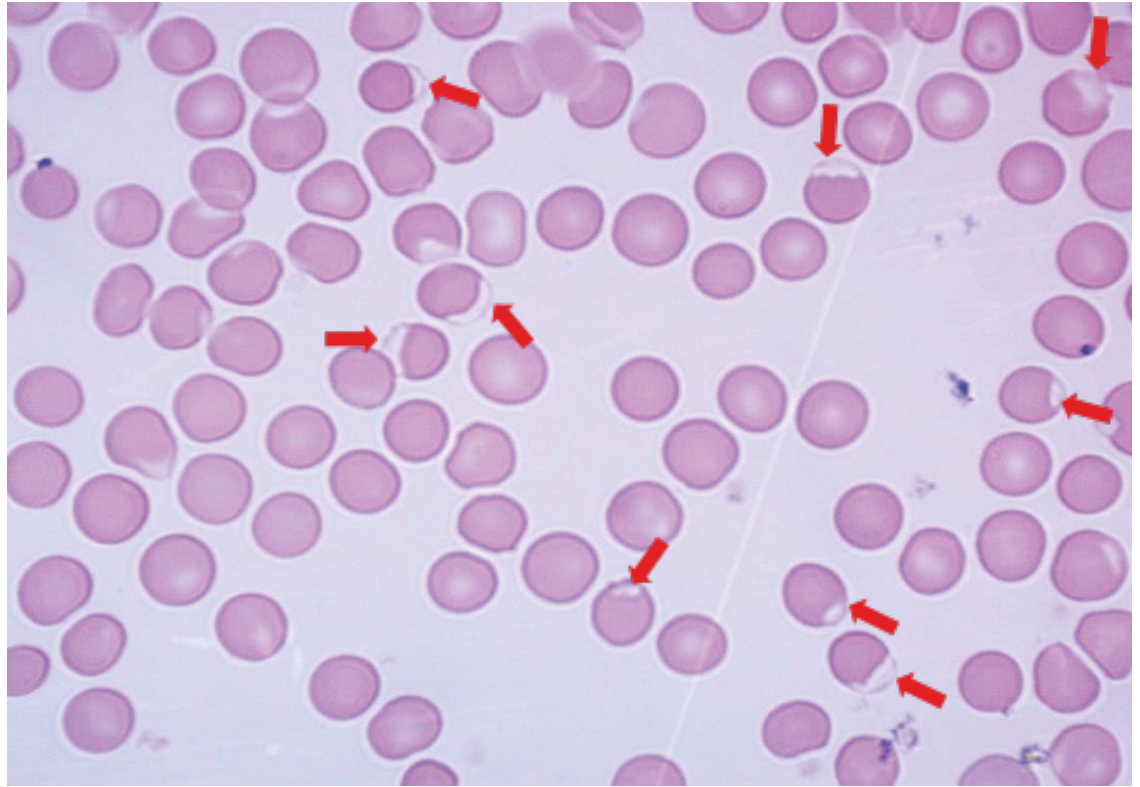
laboratorioclinico@fcv.unl.edu.ar

Año 3. Número 3 (2023)
ISSN: 2953-4224

Revista de Divulgación de Fotografías Científicas de la Medicina Veterinaria

FCV

Facultad de Ciencias Veterinarias
Universidad Nacional del Litoral



Microfotografía correspondiente a una hembra canina de raza labradora, con signos compatibles con hepatopatía aguda.

Microfotografía de un frotis sanguíneo coloreado con May Grünwald Giemsa, perteneciente a una hembra canina de raza labradora con signos clínicos y analítica bioquímica compatibles con una hepatopatía aguda. Durante el examen microscópico se observaron eritrocitos con la hemoglobina condensada en un extremo de la

célula, dejando un área pálida sin colorear en la región opuesta (flechas rojas). La morfología descrita se corresponde con los poiquilocitos denominados excentrocitos o eritrocitos semifantasma. Los excentrocitos son el resultado de un daño oxidativo directo sobre la membrana del eritrocito. Su hallazgo justifica investigar la presencia de oxidantes endógenos (enfermedades neoplásicas, endocrinas, hepáticas) o exógenos (cebolla, ajo, paracetamol, vitamina K, zinc) para la aproximación diagnóstica.

Área: Patología Clínica.

Palabras claves: *Frotis sanguíneo, Poiquilocitos, Daño Oxidativo.*

Detalles técnicos: Imagen A Nikon D5200, 18-55mm f/3.5-5.6G DX VR. Imagen B y C Microscopio Nikon ECLIPSE 50 i. Cámara Nikon DS-Fi2.

Referencia Bibliográfica

Martínez Merlo E. 2008. Atlas de citología clínica del perro y del

gato. Servet. Zaragoza, España. ISBN. 978493597177, pp 408. Rebar A, MacWilliams PS, Felman BF, Metzger FI, Pollock RVH, Roche J. 2002. Manual de Hematología de Perros y Gatos. Edición Española. Gráfica IN Multimédisca Ediciones Veterinarias. Barcelona, España. ISBN 8493281115, pp 278. Valenciano AC, Cowell RL, Rizzi TE, Tyler RD. 2016. Atlas de frotis de sangre periférica en perros y gatos. Edición Española. Gráfica IN Multimédisca Ediciones Veterinarias. Barcelona, España. ISBN 9788496344648, pp 271.

DIFERENTES FORMAS DE LA REPRODUCCIÓN ASEXUAL DE *HEPATOZOOON CANIS* EN MEDULA ÓSEA DE UN CANINO

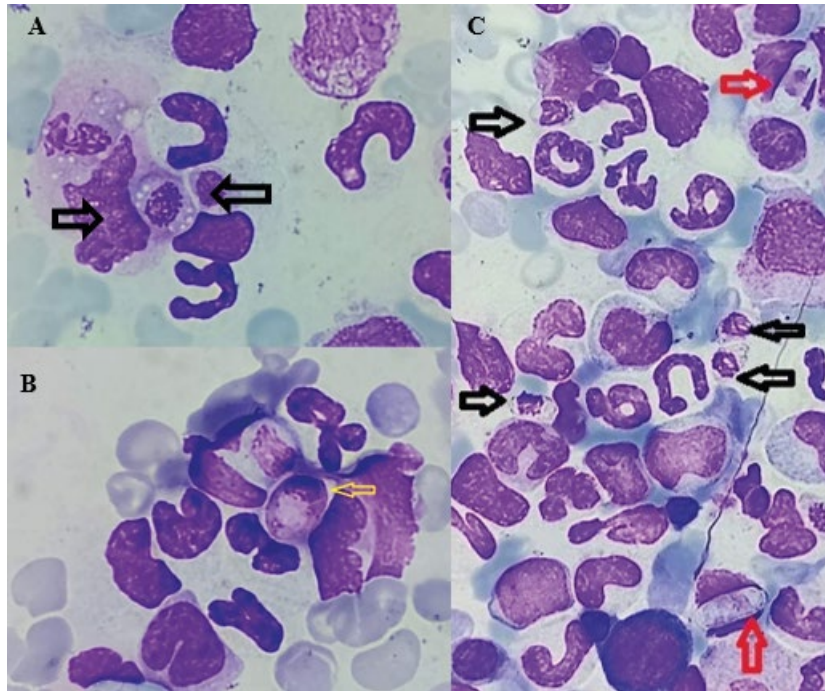
María Andrea Ballesteros, Leandro Aicardi.
Clínica y Laboratorio BIOVET. labbiovet@yahoo.com.ar

Año 3. Número 3 (2023)
ISSN: 2953-4224

Revista de Divulgación de Fotografías Científicas de la Medicina Veterinaria

FCV

Facultad de Ciencias Veterinarias
Universidad Nacional del Litoral



La fotografía corresponde a un canino de 12 años.

Las fotografías corresponden a un frotis de médula ósea de un canino hembra, mestiza, de 12 años de edad que cursó con una parasitemia de 7.813 gamontes/ μ l de *Hepatozoon canis*. Las infecciones naturales de *H. canis* se adquieren por la ingestión de una garrapata *Rhipicephalus sanguineus* s.l. infectada con ooquistes maduros o por transmisión vertical. En la luz del intestino del perro, se produce la ruptura y liberación de esporocistos y esporozoítos. Éstos atraviesan las vellosidades intestinales e invaden células mononucleares. Luego, transportados por sangre y linfa, alcanzan el bazo, médula ósea, hígado, ganglios, riñones, pulmón entre otros. La merogonia se desarrolla en las células de éstos órganos. Los esquizontes o merontes liberan merozoítos (Fotos A y C, flechas negras) que invaden más células y desarrollan nuevos merontes (Foto B, flecha amarilla) 2b) que producen más micromerozoítos.

Luego de varias generaciones merogónicas, los micromerozoítos invaden el citoplasma de neutrófilos y monocitos evolucionando en cuerpos ovales de $11 \times 5 \mu\text{m}$ denominados gamontes (Foto C, flecha roja), fase presexual. Una vez que la garrapata ingiere estas formas parasitarias comienza la gametogonia que luego finaliza en el intestino de este artrópodo.

Área: Parasitología.

Palabras claves: *Hepatozoonosis*, *Hospedador intermediario*, *Merozoítos*.

Detalles técnicos: Motic BA210E Microscopía óptica 1000 X. Coloración May Grünwald-Giemsa.

Referencia Bibliográfica

Baneth G, Samish M and Shkap V. 2007. Life cycle of *Hepatozoon canis* (Apicomplexa: Adeleorina: Hepatozoidae) in the Tick *Rhipicephalus sanguineus* and Domestic Dog (*Canis familiaris*). *The Journal of Parasitology*. 93; 2:283-299.
Cardoso L, Cortes HC, Eyal O, Reis A, Lopes AP, Vila-Viçosa MJ, Rodrigues PA, Baneth G. 2014. Molecular and histopathological detection of *Hepatozoon canis* in red foxes (*Vulpes vulpes*) from Portugal. *Parasit & Vectors*. 24; 7:113.
Otranto D, Dantas-Torres F, Weigl S, Latrofa MS, Stanneck D, Decapraris D, Capelli G, Baneth G. 2011. Diagnosis of *Hepatozoon canis* in young dogs by cytology and PCR. *Parasit & Vectors*. 4:55. doi: 10.1186/1756-3305-4-55.

GURTLIA PARALYSANS: MORFOLOGÍA DE LA HEMBRA ADULTA

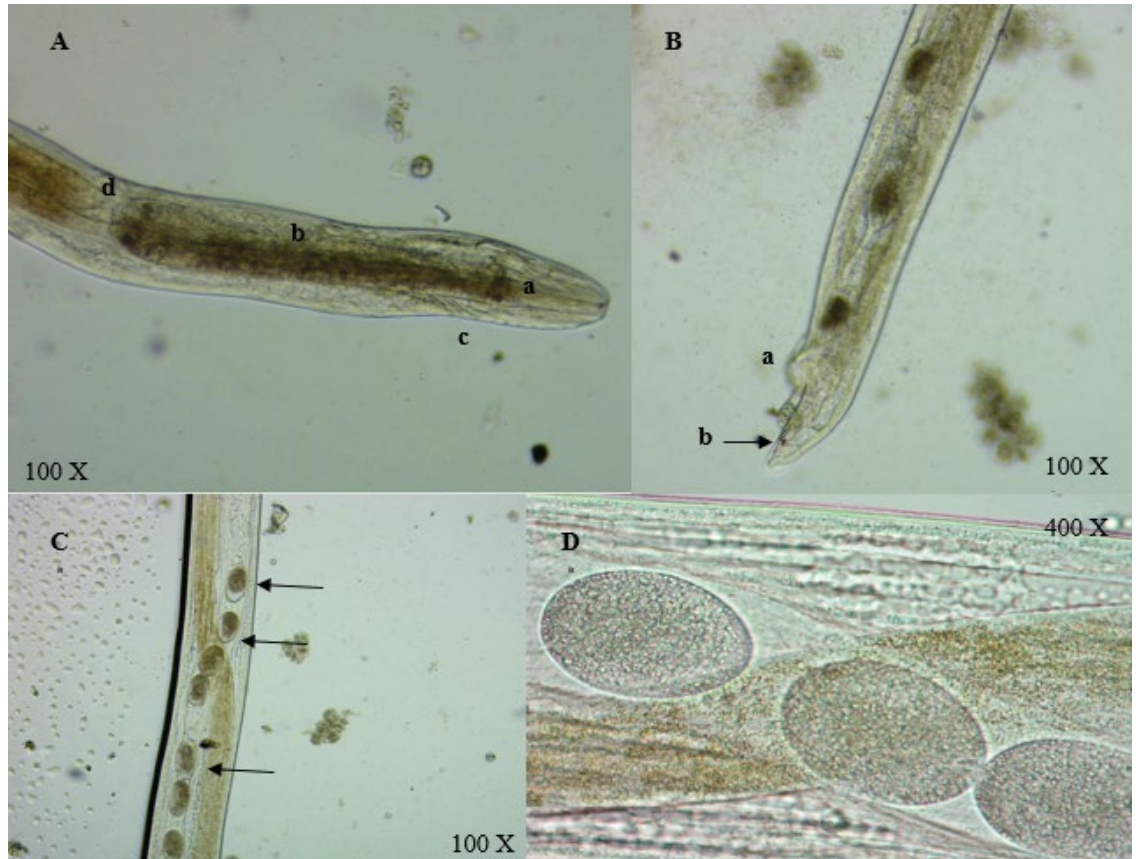
Maria Florencia Bono Battistoni, Melisa Macua, Juan Ignacio Quinodoz, Dana Plaza
Laboratorio de Estudios Parasitológicos, Cátedra de Parasitología y Enfermedades Parasitarias, Facultad de Ciencias Veterinarias, Universidad Nacional del Litoral.
mfbono@fcv.unl.edu.ar

Año 3. Número 3 (2023)
ISSN: 2953-4224

Revista de Divulgación de Fotografías Científicas de la Medicina Veterinaria

FCV

Facultad de Ciencias Veterinarias
Universidad Nacional del Litoral



Gurtlia paralyans es un nematode que parasita a los felinos. Los vermes adultos se ubican en las venas del espacio subaracnoideo de la médula espinal y en el parénquima produciendo una meningomielitis crónica que termina con una paraplejía/parálisis de los miembros posteriores. Las hembras miden entre 23 y 30 mm de largo por 0.1 mm de ancho.

El extremo cefálico (foto A) es redondeado y carece de cápsula bucal, papilas orales y labios. Presenta un anillo nervioso (a) que mide 0.132 mm de ancho y un poro excretor (c) ubicado a casi 0.24 mm del extremo anterior. El esófago rabditoide (b) mide alrededor de 0.45 mm y la válvula esófago - intestinal (d) que tiene un diámetro de 0.008 a 0.012 mm.

El extremo caudal (foto B) es corto y redondeado. Presenta una protuberancia vulvar (a)

ubicada en la parte posterior de la apertura vulvar y a 0.03 mm del extremo se encuentra el poro anal (b). Los huevos en el útero (fotos C y D) miden 0.040-0.072 mm × 0.026-0.048 mm dependiendo de su estado de maduración

Área: Parasitología.

Palabras claves: nematode espinal, morfología, felinos.

Detalles técnicos:

Microscopio Arcano, microscopía óptica 100X y 400X.

Referencia Bibliográfica

Moroni M., Muñoz P., Gómez M., Mieres M., Rojas M., Lillo C., Aguirre F., Acosta-Jamett G., Kaiser M., Lindsay D.S. 2012. Gurtlia paralyans (Wolffhügel, 1933): Description of adults and additional case reports of neurological diseases in three domestic cats from southern Chile. Veterinary Parasitology 184: 377- 380.
Gómez M., Moroni M., Muñoz P., Taubert A., Hermsilla C., Hirzmann J., Rojas L. 2021. Gurtlia paralyans: a neglected parasite of domestic cats. Austral J Vet Sci 53: 33-45.

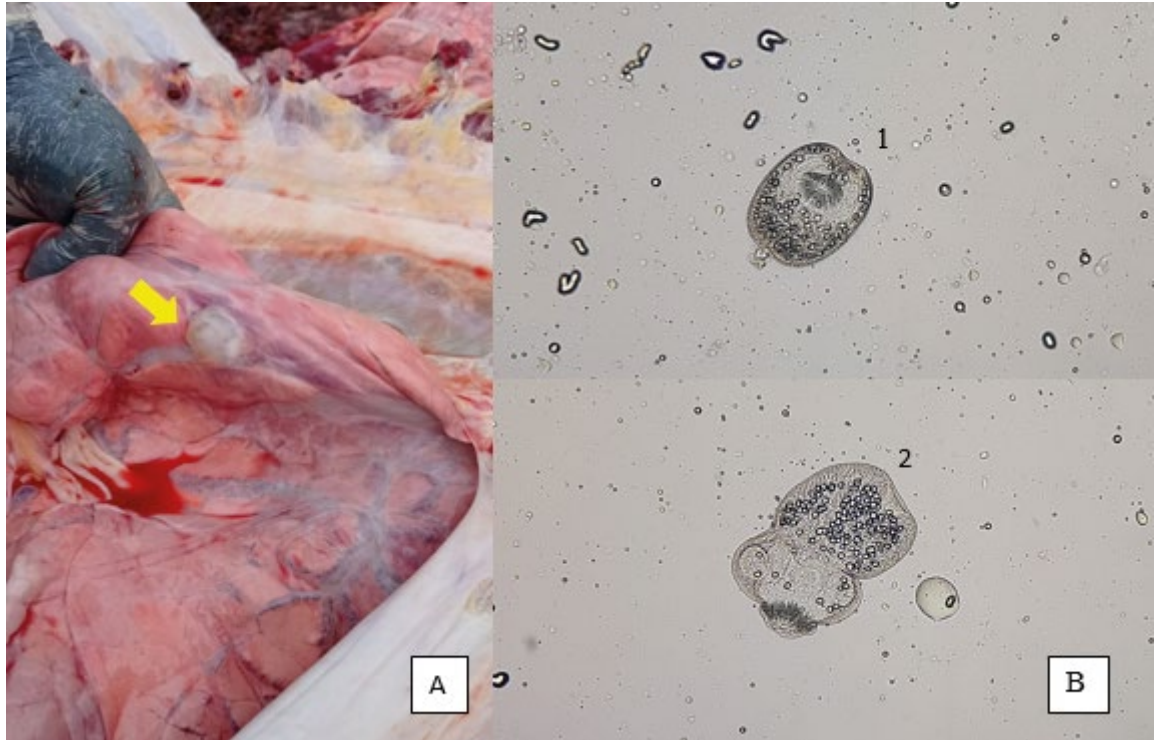
EQUINOCOCOSIS QUÍSTICA EN UN BOVINO DE PRODUCCIÓN LECHERA

¹Fiorela Pontarelli, ²Martín Allasia, ³Fabián Oscar Aguirre.

¹Laboratorio de Análisis Clínicos, Hospital de Salud Animal. ²Prácticas Hospitalarias de Grandes Animales. Facultad de Ciencias Veterinarias, Universidad Nacional del Litoral. ³Actividad Privada, Clínica de Animales de Compañía.
laboratorioclinico@fcv.unl.edu.ar

Año 3. Número 3 (2023)
ISSN: 2953-4224

Revista de Divulgación de Fotografías Científicas de la Medicina Veterinaria



FCV

Facultad de Ciencias Veterinarias
Universidad Nacional del Litoral

La hidatidosis o equinocosis quística refiere a la existencia de larvas en estado quístico de la tenia *Echinococcus granulosus*.

El quiste hidatídico se desarrolla en diversas vísceras, principalmente hígado y pulmón de los hospedadores intermediarios, entre los que se incluyen ovinos, bovinos, porcinos y otros ungulados e incluso el hombre como hospedador intermediario accidental. El quiste está formado por una capa externa o cuticular y una capa interna o germinativa de donde se forma el líquido hidatídico, las vesículas y escólices. En la fotografía A del panel fotográfico podemos visualizar macroscópicamente el quiste hidatídico, de forma globosa, color blanquecino, de 5cm de diámetro localizado en el lóbulo accesorio del pulmón derecho de un bovino Holando Argentino, de segunda lactancia, perteneciente a un establecimiento lechero de la zona rural de la comuna La

Campesina (San Cristobal, Santa Fe, 30°18'37.9" S 61°14.234' O).

La imagen B corresponde a un preparado húmedo realizado a partir de la punción y posterior centrifugación del líquido quístico, donde puede observarse microscópicamente protoescólices invaginados (1) y desinvaginados (2). Es importante destacar que esta parasitosis zoonótica suele relacionarse con la ganadería de régimen extensivo por lo que este hallazgo no es frecuente en la explotación lechera.

Área: Parasitología.

Palabras claves: *Hidatidosis, Diagnóstico, Microscopía.*

Detalles técnicos: Boeco 300/I/SP, Microscopía óptica 1000x, Filtro azul.

Referencia Bibliográfica

Cordero del Campillo M, Rojo Vázquez F.A. 2002. Parasitología Veterinaria. McGraw Hill Interamericana, Madrid, España. ISBN 84-486-0236-6, pp 341-350

Rosa A, Ribicich M. 2012. Parasitología y Enfermedades parasitarias. Editorial Hemisferio Sur S.A. Bs AS, Argentina. ISBN 9789505046182, pp 152-154.

FRENILLO PENEANO PERSISTENTE EN TORO JERSEY DE 15 MESES DE EDAD

¹Fabián Barberis, ¹Laura Grötter, ¹Martin Maciel, ¹Luciano Cattaneo, ¹Juan Ignacio Stratta

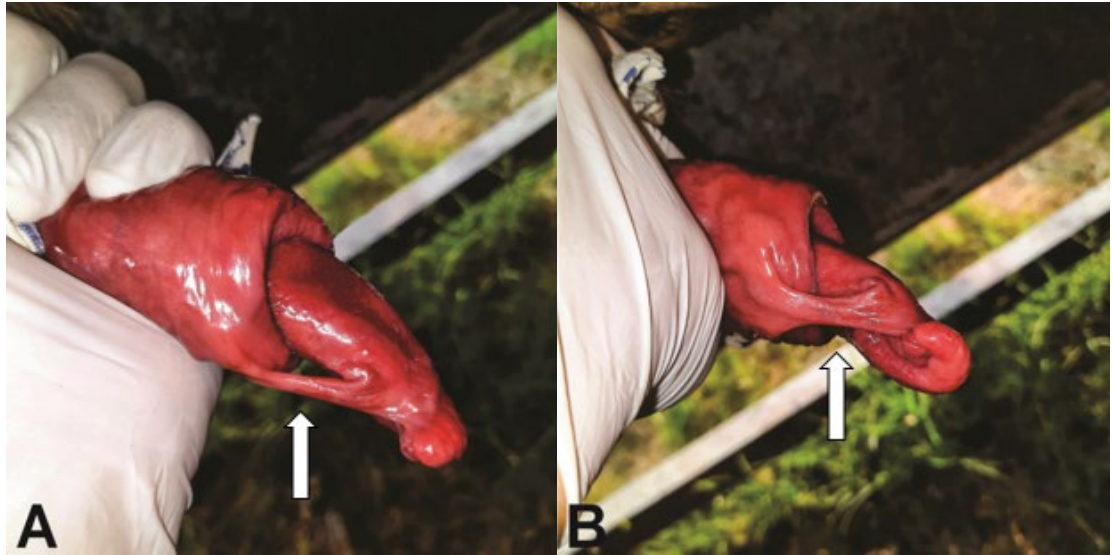
¹Instituto de Reproducción Animal. Hospital de Salud Animal. Facultad de Ciencias Veterinarias. Universidad Nacional del Litoral. fcbarberis@gmail.com

Año 3. Número 3 (2023)
ISSN: 2953-4224

Revista de Divulgación de Fotografías Científicas de la Medicina Veterinaria

FCV

Facultad de Ciencias Veterinarias
Universidad Nacional del Litoral



El frenillo peneano es una banda de tejido conectivo presente en el nacimiento, que une la parte posterior del glande con el prepucio del pene. Está cubierta de epitelio, varía en ancho y grosor, y generalmente contiene uno o más vasos sanguíneos. Cuando persiste más allá de los 11 meses de edad es considerada patológica, ya que provoca la desviación de la punta del pene ventralmente, dificultando e impidiendo la cópula. Aunque esta condición puede resolverse espontáneamente, en algunos casos requiere de intervención quirúrgica.

Sin embargo, más allá de su posible resolución, no se recomienda el uso de los toros afectados para la producción de reproductores de raza pura, ya que varios informes prueban que la afección es hereditaria y sugieren fuertemente un patrón autosómico recesivo simple. Para la revisión del animal y toma de la fotografía, se logró la exteriorización del pene mediante la realización de anestesia de los nervios pudendos y hemo-

rroidales (Anestesia de Mc Farlane), inyectando Xilocaína al 2% lo más cerca posible del agujero ciático menor, en la cara interna del ligamento sacrociático.

La foto (A) se corresponde a una vista lateral y la foto (B) a una vista ventral del pene, el frenillo persistente es señalado por la flecha blanca

Área: Reproducción Animal.

Palabras claves: Pene, Patologías, Bovino.

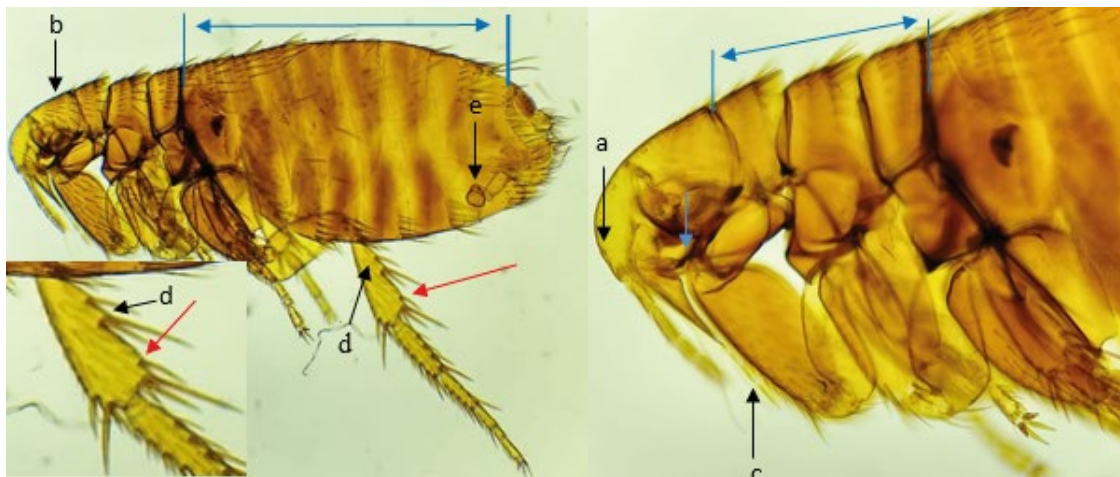
Detalles técnicos: Cámara digital 48 MP, Samsung Galaxy a51.

Referencia Bibliográfica

Elmore, RG 1981. Surgical repair of bovine persistent penile frenulum. *Veterinary Medicine Small Animal Clinician* 76, 701-704.
Garnero OJ y Perussia OR. 2002. *Manual de anestésicos y cirugías de bovinos*. 2da. Edición. Imprenta San Cayetano
Wolfe, D. 2018. Review: Abnormalities of the bull - occurrence, diagnosis and treatment of abnormalities of the bull, including structural soundness. *Animal*, 12(S1), S148-S157.

REGISTRO DE *POLYGENIS PLATENSIS* (SIPHONAPTERA: RHOPALOPSYLLIDAE: RHOPALOPSYLLINAE) SOBRE *OXYMYCTERUS RUFUS* (CRICETIDAE: SIGMODONTINAE)

¹Johann Barolin, ²María Fernanda López Berrizbeitía, ¹Valeria Colombo, ^{1,3}Pablo Beldomenico, ^{1,4}Lucas Monje.
¹Laboratorio de Ecología de Enfermedades, Instituto de Ciencias Veterinarias del Litoral (ICIVET Litoral), Universidad Nacional del Litoral (UNL), Consejo Nacional de Investigaciones Científicas y Técnicas. (CONICET), Esperanza, Santa Fe, Argentina. ²PIDBA (Instituto de Investigaciones de Biodiversidad Argentina), Facultad de Cs. Naturales e IML, UNT. CCT NOA Sur, CONICET. Fundación Miguel Lillo (FML), San Miguel de Tucumán, Argentina. ³Facultad de Ciencias Veterinarias, UNL, Esperanza, Santa Fe, Argentina. ⁴Facultad de Bioquímica y Ciencias Biológicas, UNL, Santa Fe, Santa Fe, Argentina. johann_b13@outlook.com.ar



En la fotografía se observa una pulga, la cual fue colectada parasitando un ejemplar de *Oxymycterus rufus* proveniente del Delta del Paraná, Campana, Provincia de Buenos Aires.

El espécimen corresponde a una hembra perteneciente a la especie *Polygenis (Polygenis) platensis*, familia Rhopalopsyllidae, Subfamilia Rhopalopsyllinae. Los Rhopalopsyllidae se caracterizan principalmente por la presencia de un tubérculo frontal (flecha a) o clipeal y la ausencia de ctenidios o peines cefálicos, torácicos y abdominales (flechas celestes), excepto en un género (*Scolopsyllus*). Esta familia es casi exclusiva de la región Neotropical. La subfamilia Rhopalopsyllinae cuenta con tres hileras de setas en la región postantenal (flecha b), el género *Polygenis* con un tubérculo frontal (flecha a) situado por debajo de la mitad del margen frontal y un palpo labial (flecha c) que lleva 5 segmentos lo cuales no se extienden más allá de la base del trocánter, y el subgénero *Polygenis* presenta una tibia posterior con 6 o 7 muescas dorso-marginales (flecha d). En cuanto a *P. (P.) platensis*, se destaca la presencia de una tibia posterior con 6 muescas dorso-marginales,

la penúltima muesca con dos setas (flecha roja). En la hembra, la espermateca (flecha e) presenta forma variable, el margen ventral de la misma puede o no tener una indentación marcada y con una joroba en la parte dorsal de la bulga, y el esternito VII es fuertemente redondeado. Esta especie es usualmente parásita de mamíferos silvestres, con registros eventuales de parasitismo en humanos. Su importancia epidemiológica reviste en el hecho de que se reportaron ejemplares infectados con *Yersinia pestis* en Sudamérica.

Área: Fauna Silvestre.

Palabras claves: Vector, Peste, Roedores.

Detalles técnicos: ZEISS Primostar 3 Fijo-kohler Binocular Iluminación Led, Microscopia óptica 40X. Fotografía: Celular Motorola g 6.

Referencia Bibliográfica
 Dubyanskiy VM, Yeszhanov, AB. 2016. Ecology of *Yersinia pestis* and the epidemiology of plague *Yersinia pestis*: Retrospective and Perspective (ed. by YangR, AnisimovA), pp. 101–170. Springer, Dordrecht.
 Lareschi M, Linardi PM. 2009. Morphological variability in *Polygenis (Polygenis) platensis* (Jordan y Rothschild) (Siphonaptera: Rhopalopsyllidae: Rhopalopsyllinae) and taxonomic consequences. *Zootaxa*, 2310:35–42.
 Linardi PM, Guimarães LR. 2000. Sifonápteros do Brasil. Ed. MZUSP, FAPESP. São Paulo, Brasil, 291 pp.
 Smit FGAM 1987. An illustrated catalogue of the Rothschildfleas (Siphonaptera) in the British Museum (Natural History) 7: Malacopsylloidea (Malacopsyllidae and Rhopalopsyllidae). Oxford University Press, Oxford, 380 pp.

FILARIOSIS CANINA: DESCRIPCIÓN MORFOLÓGICA DE LAS MICROFILARIAS

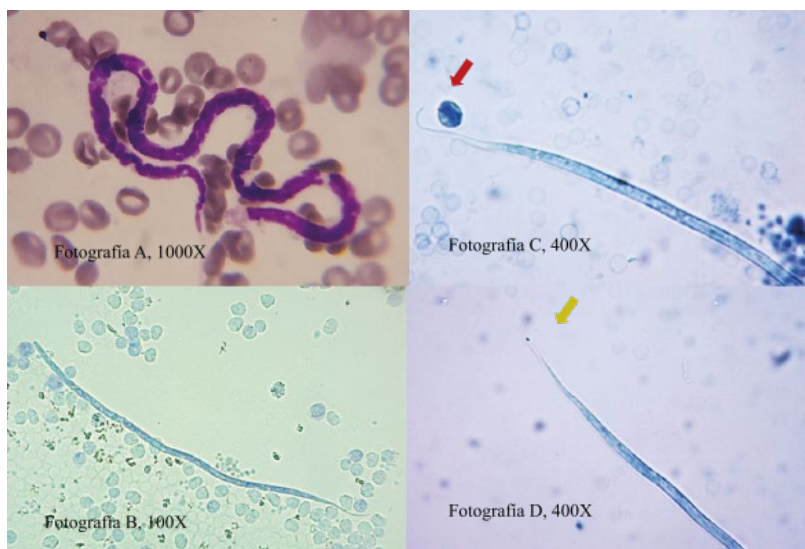
Marcelo Fabián Ruiz, Rossana Zimmermann, Tomás Ferrer, Fiorela Pontarelli, Fabián Oscar Aguirre.
Laboratorio de Análisis Clínicos, Hospital de Salud Animal, Facultad de Ciencias Veterinarias, Universidad Nacional del Litoral.
laboratorioclinico@fcv.unl.edu.ar

Año 3. Número 3 (2023)
ISSN: 2953-4224

Revista de Divulgación de Fotografías Científicas de la Medicina Veterinaria



Facultad de Ciencias Veterinarias
Universidad Nacional del Litoral



Entre los filáridos que parasitan a los caninos, *Dirofilaria immitis* es la más patógena, aunque no siempre la más prevalente. Además de la especie mencionada, los caninos pueden hospedar a *Acanthocheilonema reconditum*. La observación microscópica de los frotis sanguíneos pone en evidencia la presencia de microfilarias (Fotografía A), no obstante, el método de Knott modificado permite identificar

Éste método colorea las microfilarias con una tonalidad azulada (Fotografía B) permitiendo caracterizar los siguientes rasgos morfológicos: longitud total de la microfilarias, su amplitud corporal en la parte media, formas del extremo anterior y posterior. Las microfilarias de *A. reconditum* carecen de vaina, poseen una longitud entre de 254-271 μm , un ancho de 4-5,3 μm , el extremo anterior romo mientras que el posterior posee forma de gancho, como mango de paraguas (Fotografía D, flecha roja).

Las microfilarias de *D. immitis* se caracterizan por no poseer vaina, su longitud aproximada es de 295-310 μm , un ancho de 6-6,6 μm , el extremo anterior ahusado y extremo posterior

en punta recta, sin gancho (Fotografía E, flecha amarilla).

Conocer qué especie de filaria posee un paciente es importante, ya que la infección por *D. immitis* en perros, puede resultar en enfermedad y muerte, mientras que la infección por *A. reconditum* es transitoria y sin consecuencias patológicas. Por otro lado, la dirofilariosis canina es una enfermedad parasitaria potencialmente zoonótica, debido a que muchos de los vectores son antropofílicos, siendo importante el control y prevención de esta enfermedad en los perros, para que no trascienda a la salud humana. no es frecuente en la explotación lechera.

Área: Parasitología.

Palabras claves: Hemopatógenos, Diagnóstico, Filarias.

Detalles técnicos: Boeco 300/I/SP, Microscopía óptica 1000x, Filtro azul.

Referencia Bibliográfica
Consejo Tropical para el Control de los Parásitos en los Animales de Compañía. 2019. Directrices para el diagnóstico, tratamiento y control de endoparásitos caninos en los trópicos. https://www.troc-cap.com/2017press/wpcontent/uploads/2019/07/TroCCAP_Canine_Endo_Guidelines_Spanish_Ver2_.pdf
Ruiz MF, Barolin J, Malato E, Sferco B, Aguirre, FO, Zimmermann R, Ceci M. 2019. Filariosis canina: descripción de un caso de coinfección con *Dirofilaria immitis* y *Acanthocheilonema reconditum*. Libro de resúmenes de VII Jornada de Difusión de la Investigación y Extensión, FCV, UNL. ISSN 2525-104X. <https://www.fcv.unl.edu.ar/investigacion/wp-content/uploads/sites/7/2018/11/129-SA-Ruiz-Filariosis.pdf>.